

天竜川下流部の土砂動態について

岐阜大学工学部 河村三郎

名古屋大学工学部 西畠勇夫

1. 天竜川下流部の河床変動と土砂流出 $\frac{\partial z}{\partial t}$ は河床変動率 $\frac{\partial z}{\partial t}$ は流砂の連続式から、 $\frac{\partial z}{\partial t} = -\frac{1}{(1-\lambda)} \frac{\partial \delta_T}{\partial x} - \frac{\delta_T}{B(1-\lambda)} \frac{\partial B}{\partial x} \pm \frac{1}{B} \frac{\partial Q_{lo}}{\partial x}$ (1)

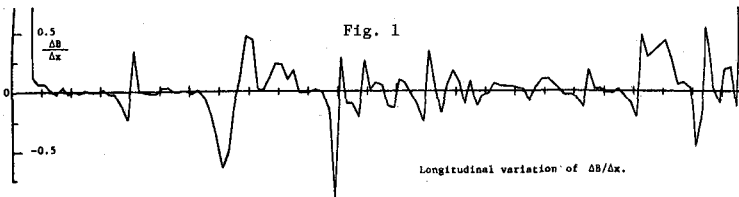


Fig. 1

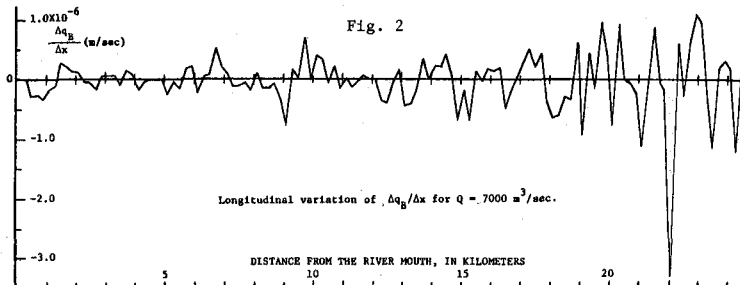


Fig. 2

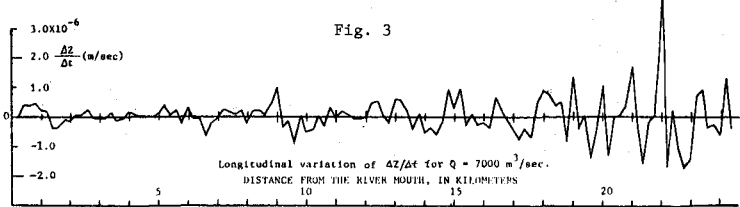


Fig. 3

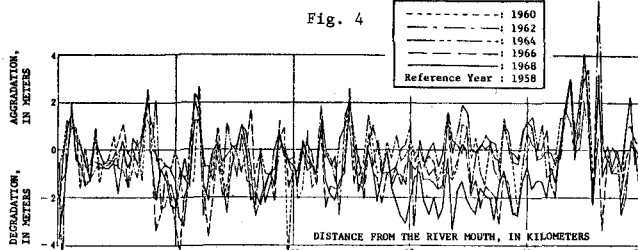


Fig. 4

Longitudinal variations of observed minimum river-bed elevations.
(Reproduced from the reference 2).

河川幅の変化が河床変動の不確定要素の一つとなつてゐる。これが知られる。1958年を基準とし過去10年間の河床変動図²⁾ (Fig. 4)と $\Delta z/\Delta t$ の継続的変化の図 (Fig. 3) は、かなりよく対応してゐる。下流部流域を河口から15 Kmの地点で分割し、流砂量の平均値を示すと表-1のようである。浮遊流砂量は、天竜川の浮遊流砂量の実測値から、 $Q_s = 10^{-7} Q^2$ (2) で計算される。²⁾

となる。ここで $\tau = \text{時間}$ 入 = 河床材料の空隙率、 δ_T = 単位時間単位幅当たりの総流砂量、 B = 河川幅、 Q_{lo} = 単位時間当たりの本川からの流出流砂量 (-)、 (+) は本川への流入流砂量 (+)。流砂量の式としては、佐藤・吉川・芦田公式を使用する。

天竜川下流部を $\Delta x = 200$ m ピッチに分割し、 $\Delta z/\Delta t$ を流量 $Q = 4500 \text{ m}^3/\text{sec}$, ($z \sim 3$ 年に 1 回発生する洪水量), $7000 \text{ m}^3/\text{sec}$ (10 年に 1 回発生する洪水量), $11130 \text{ m}^3/\text{sec}$ (約 100 年に 1 回発生する洪水量) について計算¹⁾。計算結果の一例として $\Delta B/\Delta x$

を Fig. 1, $\Delta Q_B/\Delta x$ を Fig. 2, $\Delta z/\Delta t$ を Fig. 3 に示す。これらは、流量 $Q = 7000 \text{ m}^3/\text{sec}$ についての計算結果である。比較のために、実測最低河床高の継続的変化を Fig. 4 に示す。これらの図から、河川幅の変化が著しい部分では $\Delta z/\Delta t$ は急激な変動を示し、

表-1 掃流砂量と浮遊砂量

洪水流量 (m ³ /sec)	掃流砂量 (m ³ /sec)		浮遊砂量 (m ³ /sec)
	河口±5~15km下流部	15kmより上流部	
2500	0.037 (9.6×10 ⁴ m ³)	0.1 (2.6×10 ⁴ m ³)	0.63 (16.3×10 ⁴ m ³)
4500	0.11 (2.9×10 ⁴ m ³)	0.25 (6.5×10 ⁴ m ³)	2.03 (52.6×10 ⁴ m ³)
7000	0.21 (5.4×10 ⁴ m ³)	0.45 (12×10 ⁴ m ³)	4.9 (12.7×10 ⁴ m ³)
5046	0.129 (3.34×10 ⁴ m ³)	0.29 (7.52×10 ⁴ m ³)	2.55 (60.0×10 ⁴ m ³)

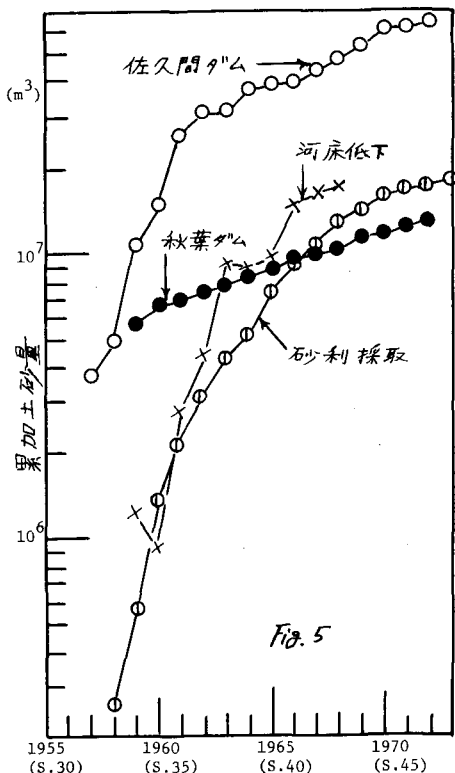
*昭和33年～41年の期間における最大洪水流量の年々推移

表-2 河口部の侵食・堆積土砂量の変化
(測定期間: 1962年～1973年)

測定区域	算定範囲 (km)	侵食量 (+:堆積, -:侵食) m ³ /year/km	
		m ³ /year	m ³ /year
河口東部	4.8	+1.85×10 ⁴	+8.88×10 ⁴
河口西部	4.0	-3.6×10 ⁴	-14.4×10 ⁴
河口部全域	8.8	-1.3×10 ⁴	-11.4×10 ⁴

表-3 天竜川河口付近の汀線変化

測定区域	汀線変化量 (+:汀線前進, -:汀線後退) m/year	
	1961～1967年	1969～1973年
河口東部	+11.6 m/year	-0.17 m/year
河口西部	-15.8 m/year	+2.1 m/year



れ。 $Q = 2500 \text{ m}^3/\text{s}$, $4500 \text{ m}^3/\text{s}$, $7000 \text{ m}^3/\text{s}$ にて計算した浮遊砂量を表-1に示す。天竜川下流部における洪水の継続時間は3日間である。洪水期間中の掃流砂量と浮遊砂量を推定すると表-1のカッコ内の値となる。

2. 天竜川河口海岸の侵食と堆積の予測 最近における天竜川河口海岸の海岸侵食の実態は、つきのようにある。河口東海岸は、全般的には、土砂堆積の傾向を示し、また、汀線も若干の前進傾向を持った。一方、西海岸は海岸侵食が進行している。離岸堤築造後はその効果があらわれ、汀線は前進の傾向を示している。離岸堤のないところでは侵食が進行している。このような海岸変形の主原因は、天竜川の流出土砂量の減少によるものと考えられる。ところで、天竜川中流部の平岡ダム(昭和27年), 佐久間ダム(昭和31年), 秋葉ダム(昭和33年)が建設され、年平均457万m³が佐久間と秋葉の両ダムに堆砂してしまった。

下流部の砂利採取量も昭和33年以降46年まで1679.5万m³(年平均130万m³)、昭和47年以降は年平均75万m³を採取している。この砂利採取とダム堆砂が海岸変形の主要原因と考えられる。累加ダム堆砂量、累加砂利採取量、累加河床低下量をFig. 5に示す。累加河床低下量の算定範囲は河口±5~15kmの範囲である。なお、年平均河床低下量は178万m³/yearである。秋葉ダムより下流域の堆積生産土砂量は、年平均24万m³(主として気田川以下の流域)であり、これが天竜川下流部に供給される土砂量である。 $(\text{年平均河床低下量} - \text{年平均砂利採取量}) = 178 - 130 = 48 \text{ 万m}^3/\text{year}$ は河口より流出する土砂量である。この値は表-1の $Q = 5046 \text{ m}^3/\text{sec}$ を計算して流砂量 63万m³(浮遊流砂量を含めて)に近い値である。一方、海岸侵食の実測結果をみると、表-2に示すように、11万m³/yr. 侵食を受けしており、今後も侵食が続くことと考えられる。しかししながら、表-3のように汀線変化は次第に落ち着いてきているので、侵食量は多少減少すると思われる。

3. 建設工事による天竜川下流河床変動(参考文献、昭和24年、pp. 25-32)

1) Komura, S., An Approach to Evaluating the Instability of Longitudinal/River-Bed Variations, Proc. International Symposium on River and Ice, Budapest, Feb., 1974, pp. 25-32.